

## Поверхности

Быковских Дмитрий Александрович

02.11.2024

Традиционный способ построения/представления объемной модели с помощью ортогональной проекции.

Ортогональная проекция — сеть ортогональных кривых, используемых для изображения трехмерных объектов на плоскости.

Такую модель удобно исследовать с целью получения различных "физических" характеристик: размер, объем, площадь поверхности, угол кривизны и др.

Причины

- Создание объемных моделей с нуля в соответствии с концептуальными и дизайнерскими требованиями.
- Реконструкция трехмерной модели может потребоваться на основе данных, полученных из сканирования реальных объектов (медицина);

## Введение

Традиционный способ построения/представления объемной модели с помощью ортогональной проекции.  
Ортогональная проекция — сеть ортогональных кривых, используемых для изображения трехмерных объектов на плоскости.  
Такую модель удобно исследовать с целью получения различных "физических" характеристик: размер, объем, площадь поверхности, угол кривизны и др.

- Причины
- Создание объемных моделей с нуля в соответствии с концептуальными и дизайнерскими требованиями.
  - Реконструкция трехмерной модели может потребоваться на основе данных, полученных из сканирования реальных объектов (медицина);

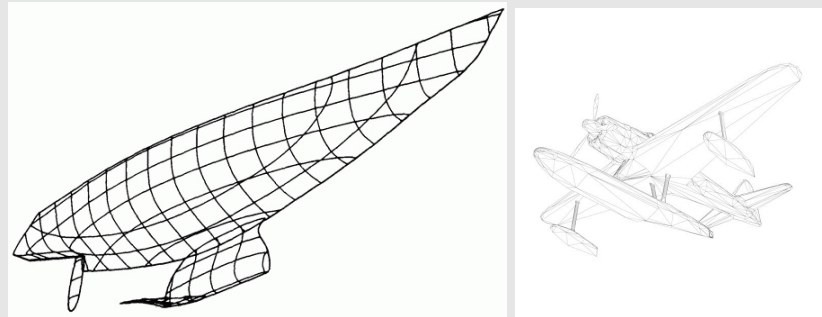


Рис. 1: Представление каркасных моделей: с помощью ортогональных проекций (слева); с помощью триангуляции (справа)

# Отображение параметрических поверхностей

Поверхность удобнее отображать из параметрического двумерного пространства  $uv$  в трехмерное объективное пространство  $xuz$ .

Параметры  $(u, v) \rightarrow (x, y, z)$ , где  $u, v \in [0, 1]$ .

Задача.

Построить поверхность согласно его параметрическому представлению.

$$\begin{cases} x(u, v) = 3u + v \\ y(u, v) = 2u + 3v + uv \\ z(u, v) = 0 \end{cases}$$

Слайны

2024-11-01

## Отображение параметрических поверхностей

Отображение параметрических поверхностей

Поверхность удобнее отображать из параметрического двумерного пространства  $uv$  в трехмерное объективное пространство  $xuz$ .  
Параметры  $(u, v) \rightarrow (x, y, z)$ , где  $u, v \in [0, 1]$ .  
Задача.  
Построить поверхность согласно его параметрическому представлению.

$$\begin{cases} x(u, v) = 3u + v \\ y(u, v) = 2u + 3v + uv \\ z(u, v) = 0 \end{cases}$$

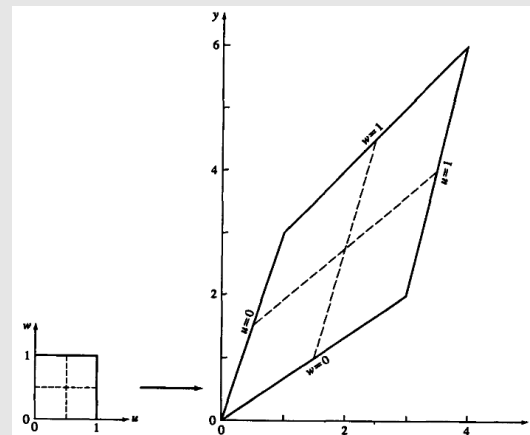


Рис. 2: Иллюстрация к примеру: параметрическое пространство (слева) и объектное пространство (справа)

## Билинейная поверхность

Билинейная поверхность конструируется из 4х угловых точек:  $P(0, 0)$ ,  $P(1, 0)$ ,  $P(0, 1)$ ,  $P(1, 1)$ .

Любая точка поверхности  $S(u, v)$  определяется линейной интерполяцией между противоположными границами единичного квадрата.

$$S(u, v) = \begin{bmatrix} 1 - u \\ u \end{bmatrix}^T \begin{bmatrix} P(0, 0) & P(0, 1) \\ P(1, 0) & P(1, 1) \end{bmatrix} \begin{bmatrix} 1 - v \\ v \end{bmatrix},$$

где  $u, v \in [0, 1]$ .

└ Билинейная поверхность

$$S(u, v) = P(0, 0)(1-u)(1-v) + P(0, 1)(1-u)v + P(1, 0)u(1-v) + P(1, 1)uv$$

Примечание.

Легко проверить, подставив значения в параметры  $u, v$ .

При этом координаты точек  $P$  можно задавать произвольным образом.

Билинейная поверхность конструируется из 4х угловых точек:  $P(0, 0)$ ,  $P(1, 0)$ ,  $P(0, 1)$ ,  $P(1, 1)$ .  
Любая точка поверхности  $S(u, v)$  определяется линейной интерполяцией между противоположными границами единичного квадрата.

$$S(u, v) = \begin{bmatrix} 1-u \\ u \end{bmatrix}^T \begin{bmatrix} P(0,0) & P(0,1) \\ P(1,0) & P(1,1) \end{bmatrix} \begin{bmatrix} 1-v \\ v \end{bmatrix},$$

for  $\mu, \gamma \in [0, 1]$

# Билинейная поверхность

## Пример

Задача.

Найти т.  $P(0.5, 0.5)$  билинейной поверхности, заданной координатами:  
 $P(0, 0) = [0 \ 0 \ 1]$ ,  $P(0, 1) = [1 \ 1 \ 1]$ ,  $P(1, 0) = [1 \ 0 \ 0]$ ,  $P(1, 1) = [0 \ 1 \ 0]$ .

Решение:

$$S(u, v) = \begin{cases} x(u, v) = (1 - u)v + u(1 - v) \\ y(u, v) = (1 - u)v + uv \\ z(u, v) = (1 - u)(1 - v) + (1 - u)v \end{cases}$$

Ответ:

$$P(0.5, 0.5) = [0.5 \ 0.5 \ 0.5]$$

## Сплайны

### Билинейная поверхность

Билинейная поверхность

Пример

Задача.

Найти т.  $P(0.5, 0.5)$  билинейной поверхности, заданной координатами:  
 $P(0, 0) = [0 \ 0 \ 1]$ ,  $P(0, 1) = [1 \ 1 \ 1]$ ,  $P(1, 0) = [1 \ 0 \ 0]$ ,  $P(1, 1) = [0 \ 1 \ 0]$ .

Решение:

$$S(u, v) = \begin{cases} x(u, v) = (1 - u)v + u(1 - v) \\ y(u, v) = (1 - u)v + uv \\ z(u, v) = (1 - u)(1 - v) + (1 - u)v \end{cases}$$

Ответ:

$$P(0.5, 0.5) = [0.5 \ 0.5 \ 0.5]$$

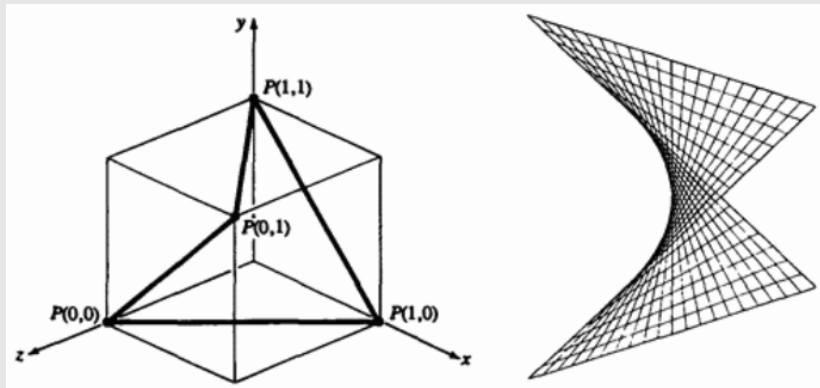


Рис. 3: Билинейная поверхность: определяющие угловые точки (слева); поверхность (справа)

# Линейчатые поверхности

Линейчатая поверхность — поверхность, образованная движением прямой линии.

Прямые, принадлежащие этой поверхности, называются прямолинейными образующими.

Каждая кривая, пересекающая все прямолинейные образующие, называется направляющей кривой.

Линейчатая поверхность образуется при движении прямой линии вдоль направляющей с одной стороны степенью свободы.

- Линейчатые поверхности:  
плоскость, конусы, цилиндры.
- Двухлинейчатые поверхности:  
однополостный гиперболоид, гиперболический параболоид.

Такие поверхности важны в промышленности, при построении техники.

2024-11-01

Слайны

## Линейчатые поверхности

Линейчатые поверхности

Линейчатая поверхность — поверхность, образованная движением прямой линии.  
Прямые, принадлежащие этой поверхности, называются прямолинейными образующими.  
Каждая кривая, пересекающая все прямолинейные образующие, называется направляющей кривой.  
Линейчатая поверхность образуется при движении прямой линии вдоль направляющей с одной стороны степенью свободы.

- Линейчатые поверхности:  
плоскость, конусы, цилиндры.
  - Двухлинейчатые поверхности:  
однополостный гиперболоид, гиперболический параболоид.
- Такие поверхности важны в промышленности, при построении техники.

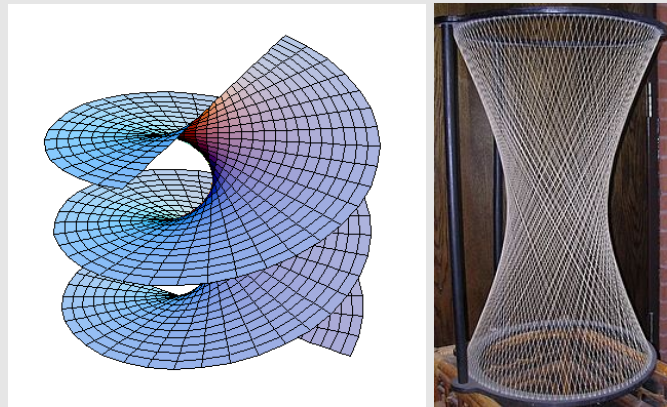


Рис. 4: Линейчатые поверхности: геликоид (слева); однополостный гиперболоид (справа)

# Линейчатые поверхности

Один способ представления линейчатой поверхности.

$$S(u, v) = \begin{bmatrix} 1 - v \\ v \end{bmatrix}^T \begin{bmatrix} P(u, 0) \\ P(u, 1) \end{bmatrix} = P(u, 0)(1 - v) + P(u, 1)v,$$

где  $P(u, 0) = f(u)$ ,  $P(u, 1) = g(u)$ .

Другой способ представления линейчатой поверхности.

$$S(u, v) = \begin{bmatrix} 1 - u \\ u \end{bmatrix}^T \begin{bmatrix} P(0, v) \\ P(1, v) \end{bmatrix} = P(0, v)(1 - u) + P(1, v)u,$$

где  $P(0, v) = f(v)$ ,  $P(1, v) = g(v)$ .

## Линейчатые поверхности

Один способ представления линейчатой поверхности.

$$S(u, v) = \begin{bmatrix} 1 - v \\ v \end{bmatrix}^T \begin{bmatrix} P(u, 0) \\ P(u, 1) \end{bmatrix} = P(u, 0)(1 - v) + P(u, 1)v,$$

где  $P(u, 0) = f(u)$ ,  $P(u, 1) = g(u)$ .

Другой способ представления линейчатой поверхности.

$$S(u, v) = \begin{bmatrix} 1 - u \\ u \end{bmatrix}^T \begin{bmatrix} P(0, v) \\ P(1, v) \end{bmatrix} = P(0, v)(1 - u) + P(1, v)u,$$

где  $P(0, v) = f(v)$ ,  $P(1, v) = g(v)$ .

# Однополостный гиперболоид, цилиндр, конус

## Пример

$$S(u, v) = \begin{bmatrix} 1-v \\ v \end{bmatrix}^T \begin{bmatrix} P(u, 0) \\ P(u, 1) \end{bmatrix} = P(u, 0)(1-v) + P(u, 1)v,$$

где

$$P(u, 0) = [\cos(u - \varphi) \quad \sin(u - \varphi) \quad -1],$$

$$P(u, 1) = [\cos(u + \varphi) \quad \sin(u + \varphi) \quad 1].$$

В основе лежат две окружности (направляющие).

В зависимости от дополнительного параметра  $\varphi$  получаются следующие типы поверхностей:

- при  $\varphi = 0$  получается цилиндр  $x^2 + y^2 = 1$ ;
- при  $\varphi = \pi/2$  получается конус  $x^2 + y^2 = z^2$ ;
- при  $0 < \varphi < \pi/2$  получается однополостный гиперболоид  $\frac{x^2}{a^2} + \frac{y^2}{a^2} - \frac{z^2}{c^2} = 1$ , где  $a = \cos \varphi$ ,  $c = \cot \varphi$ .

## Слайны

2024-11-01

Однополостный гиперболоид, цилиндр, конус

Однополостный гиперболоид, цилиндр, конус  
Пример

$S(u, v) = \begin{bmatrix} 1-v \\ v \end{bmatrix}^T \begin{bmatrix} P(u, 0) \\ P(u, 1) \end{bmatrix} = P(u, 0)(1-v) + P(u, 1)v,$   
где  
 $P(u, 0) = [\cos(u - \varphi) \quad \sin(u - \varphi) \quad -1],$   
 $P(u, 1) = [\cos(u + \varphi) \quad \sin(u + \varphi) \quad 1].$   
В основе лежат две окружности (направляющие).  
В зависимости от дополнительного параметра  $\varphi$  получаются следующие типы поверхностей:  
• при  $\varphi = 0$  получается цилиндр  $x^2 + y^2 = 1$ ;  
• при  $\varphi = \pi/2$  получается конус  $x^2 + y^2 = z^2$ ;  
• при  $0 < \varphi < \pi/2$  получается однополостный гиперболоид  $\frac{x^2}{a^2} + \frac{y^2}{a^2} - \frac{z^2}{c^2} = 1$ , где  $a = \cos \varphi$ ,  $c = \cot \varphi$ .

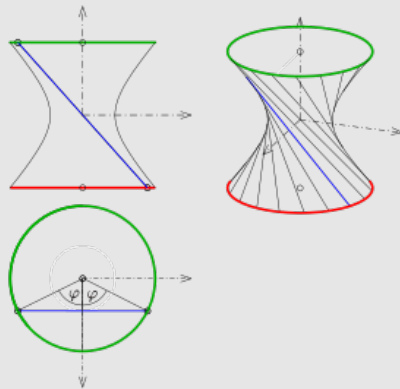


Рис. 5: Однополостный гиперболоид, где  $\varphi = \pi/3$



# Бикубическая поверхность Кунса

В основе лежит кубическое уравнение, описывающие поведение граничной кривой

$$P(t) = B_0 + B_1t + B_2t^2 + B_3t^3,$$

где  $t \in [0, 1]$ .

Каждая из четырех граничных кривых  $P(u, 0)$ ,  $P(u, 1)$ ,  $P(0, v)$ ,  $P(1, v)$  задается следующим образом:

$$P(t) = [T][M][G] = \begin{bmatrix} t^3 \\ t^2 \\ t \\ 1 \end{bmatrix}^T \begin{bmatrix} 2 & -2 & 1 & 1 \\ -3 & 3 & -2 & -1 \\ 0 & 0 & 1 & 0 \\ 1 & 0 & 0 & 0 \end{bmatrix} \begin{bmatrix} P_0 \\ P_1 \\ P'_0 \\ P'_1 \end{bmatrix},$$

где  $t \in [0, 1]$  (т.е.  $t$  — это  $u$ ,  $v$ ), а  $P_0$ ,  $P_1$ ,  $P'_0$ ,  $P'_1$  — координатные и касательные векторы.

## Слайны

2024-11-01

### Бикубическая поверхность Кунса

Тогда смешивающие функции имеют вид:

$$[F] = [T][M] = \begin{bmatrix} F_0(t) \\ F_1(t) \\ F_2(t) \\ F_3(t) \end{bmatrix}^T = \begin{bmatrix} t^3 \\ t^2 \\ t \\ 1 \end{bmatrix}^T \begin{bmatrix} 2 & -2 & 1 & 1 \\ -3 & 3 & -2 & -1 \\ 0 & 0 & 1 & 0 \\ 1 & 0 & 0 & 0 \end{bmatrix}$$

#### Бикубическая поверхность Кунса

В основе лежит кубическое уравнение, описывающее поведение граничной кривой

$$P(t) = B_0 + B_1t + B_2t^2 + B_3t^3,$$

где  $t \in [0, 1]$ .

Каждая из четырех граничных кривых  $P(u, 0)$ ,  $P(u, 1)$ ,  $P(0, v)$ ,  $P(1, v)$  задается следующим образом:

$$P(t) = [T][M][G] = \begin{bmatrix} t^3 \\ t^2 \\ t \\ 1 \end{bmatrix}^T \begin{bmatrix} 2 & -2 & 1 & 1 \\ -3 & 3 & -2 & -1 \\ 0 & 0 & 1 & 0 \\ 1 & 0 & 0 & 0 \end{bmatrix} \begin{bmatrix} P_0 \\ P_1 \\ P'_0 \\ P'_1 \end{bmatrix},$$

где  $t \in [0, 1]$  (т.е.  $t$  — это  $u$ ,  $v$ ), а  $P_0$ ,  $P_1$ ,  $P'_0$ ,  $P'_1$  — координатные и касательные векторы.

# Бикубическая поверхность Кунса

$$S(u, v) = [U][M][P][M]^T[V],$$

где  $u = \begin{bmatrix} u^3 \\ u^2 \\ u \\ 1 \end{bmatrix}^T, v = \begin{bmatrix} v^3 \\ v^2 \\ v \\ 1 \end{bmatrix}^T.$

$$S(u, v) = \begin{bmatrix} F_0(u) \\ F_1(u) \\ F_2(u) \\ F_3(u) \end{bmatrix}^T \begin{bmatrix} P(0, 0) & P(0, 1) & P_v(0, 0) & P_v(0, 1) \\ P(1, 0) & P(1, 1) & P_v(1, 0) & P_v(1, 1) \\ P_u(0, 0) & P_u(0, 1) & P_{uv}(0, 0) & P_{uv}(0, 1) \\ P_u(1, 0) & P_u(1, 1) & P_{uv}(1, 0) & P_{uv}(1, 1) \end{bmatrix} \begin{bmatrix} F_0(v) \\ F_1(v) \\ F_2(v) \\ F_3(v) \end{bmatrix},$$

где  $u, v \in [0, 1].$

$$[P] = \begin{bmatrix} \text{угловые координатные векторы} & v\text{-касательные векторы} \\ u\text{-касательные векторы} & \text{векторы кручения} \end{bmatrix}$$

2024-11-01

Сплайны

Бикубическая поверхность Кунса

Бикубическая поверхность Кунса
$$S(u, v) = [U][M][P][M]^T[V],$$

где  $u = \begin{bmatrix} u^3 \\ u^2 \\ u \\ 1 \end{bmatrix}^T, v = \begin{bmatrix} v^3 \\ v^2 \\ v \\ 1 \end{bmatrix}^T.$

$$S(u, v) = \begin{bmatrix} F_0(u) \\ F_1(u) \\ F_2(u) \\ F_3(u) \end{bmatrix}^T \begin{bmatrix} P(0, 0) & P(0, 1) & P_u(0, 0) & P_u(0, 1) \\ P(1, 0) & P(1, 1) & P_u(1, 0) & P_u(1, 1) \\ P_v(0, 0) & P_v(0, 1) & P_{uv}(0, 0) & P_{uv}(0, 1) \\ P_v(1, 0) & P_v(1, 1) & P_{uv}(1, 0) & P_{uv}(1, 1) \end{bmatrix} \begin{bmatrix} F_0(v) \\ F_1(v) \\ F_2(v) \\ F_3(v) \end{bmatrix},$$

где  $u, v \in [0, 1].$

$$[P] = \begin{bmatrix} \text{угловые координатные векторы} & v\text{-касательные векторы} \\ u\text{-касательные векторы} & \text{векторы кручения} \end{bmatrix}$$

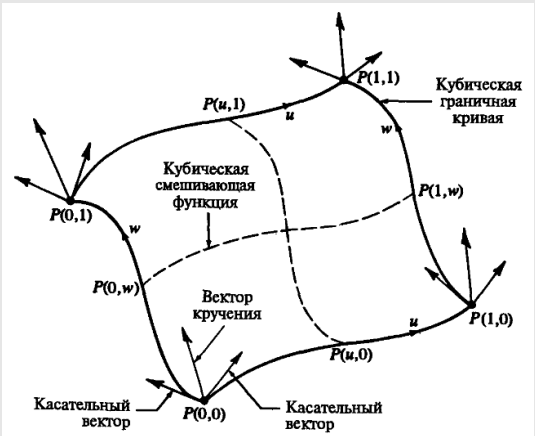


Рис. 6: Геометрия для куска бикубической поверхности Кунса

$$S(u, v) = \sum_{i=0}^n \sum_{j=0}^m P_{i,j} B_{n,i}(u) K_{m,j}(v),$$

где глобальные базисные функции (многочлены Бернштейна) имеют вид

$$B_{n,i}(u) = C_n^i u^i (1-u)^{n-i}$$

$$K_{m,j}(v) = C_m^j v^j (1-v)^{m-j}$$

### Поверхность Безье

$$S(u, v) = \sum_{i=0}^n \sum_{j=0}^m P_{i,j} B_{n,i}(u) K_{m,j}(v),$$

где глобальные базисные функции (многочлены Бернштейна) имеют вид

$$B_{n,i}(u) = C_n^i u^i (1-u)^{n-i}$$

$$K_{m,j}(v) = C_m^j v^j (1-v)^{m-j}$$

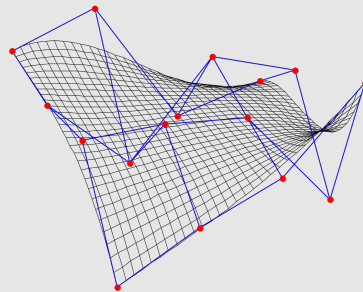


Рис. 7: Поверхность Безье: модель при  $n = m = 3$  (слева); чайник из Юты (справа)

# В-сплайн поверхность

$$S(u, v) = \sum_{i=0}^n \sum_{j=0}^m P_{i,j} N_{i,k}(u) K_{j,l}(v),$$

где  $N_{i,k}(u)K_{j,l}(v)$  локальные базисные функции, основанные на рекуррентных формулах Кокса-де Бура.

2024-11-01

## Сплайны

### └ В-сплайн поверхность

В-сплайн поверхность

$$S(u, v) = \sum_{i=0}^n \sum_{j=0}^m P_{i,j} N_{i,k}(u) K_{j,l}(v),$$

где  $N_{i,k}(u)K_{j,l}(v)$  локальные базисные функции, основанные на рекуррентных формулах Кокса-де Бура.

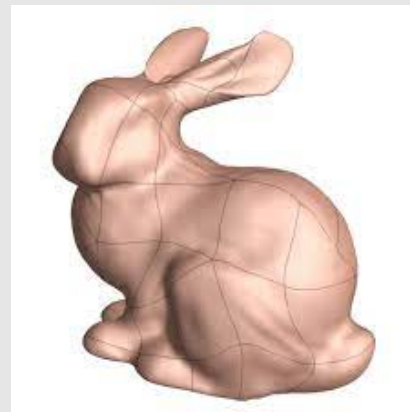


Рис. 8: В-сплайн поверхность